



Semnan University

Applied Chemistry Today

Journal homepage: <https://chemistry.semnan.ac.ir/>

ISSN: 2981-2437



Research Article

Synthesis and investigation of CdS/ZSM-5 photocatalytic activity for removal of xylene vapors from air

Parvaneh Nakhostin Panahi^{*}®, Fatemeh Norouzi[®]

Department of Chemistry, Faculty of Science, Zanjan University, Zanjan, Iran

PAPER INFO

Article history:

Received: 20/Jul/2024

Revised: 06/Oct/2024

Accepted: 31/May/2025

Keywords:

Photocatalyst,

Xylene,

CdS,

ZSM-5.

ABSTRACT

In this research work, CdS and CdS/ZSM-5 were synthesized by hydrothermal method and their photocatalytic activity was investigated for removing xylene vapors from air in two states: powdered and immobilized on a glass substrate. The CdS in the immobilized state removed a higher percentage of xylene than in the powdered state. Also, by loading CdS onto ZSM-5 zeolite, the photocatalytic activity increased and the CdS/ZSM-5 photocatalyst can decompose 75% of the xylene pollutant. Analysis of X-ray diffraction, scanning electron microscopy, and UV-visible diffuse reflectance spectroscopy were used to investigate the physical and chemical properties of CdS and CdS/ZSM-5. According to the results of X-ray diffraction analysis, the structure of synthesized cadmium sulfide was hexagonal, and according to the scanning electron microscope images, cadmium sulfide was synthesized in a spherical shape. The UV-visible diffused reflectance spectroscopy also showed that band gap of CdS and CdS/ZSM-5 is 1.85 and 2.24 ev, respectively.

DOI: <https://doi.org/10.22075/CHEM.2025.36641.2337>

© 2025 Semnan University.

This is an open access article under the CC-BY-SA 4.0 license. (<https://creativecommons.org/licenses/by-sa/4.0/>)

* Corresponding author: Associate Professor of Applied Chemistry. E-mail address: panahi@znu.ac.ir

How to cite this article: Norouzi, F., & Nakhostin Panahi, P. (2025). Synthesis and investigation of CdS/ZSM-5 photocatalytic activity for removal of xylene vapors from air. *Applied Chemistry Today*, 20(75), 62-70. (in Persian)

مقاله علمی پژوهشی

ستنتز و بررسی فعالیت فوتوكاتالیستی CdS/ZSM-5 برای حذف بخارات زایلن از هوا

پروانه نخستین پناهی^{*}، فاطمه نوروزی

گروه شیمی، دانشکده علوم، دانشگاه زنجان، زنجان، ایران

اطلاعات مقاله	چکیده
دریافت مقاله: ۱۴۰۳/۰۴/۳۰	در این کار پژوهشی CdS و ZSM-5 با روشن هیدرولیم سنتز شده و فعالیت فوتوكاتالیستی آنها برای حذف بخارات زایلن از هوا در دو حالت پودری و تثبیت شده بر روی پستر شیشه ای بررسی شد. کادمیم سولفید در حالت تثبیت شده نسبت به حالت پودری درصد بیشتری از بخارات زایلن را از هوا حذف کرد. همچنین با بارگذاری کادمیم سولفید بر روی زئولیت ZSM-5 فعالیت فوتوكاتالیستی افزایش یافته و فوتوكاتالیست CdS/ZSM-5 توانست ۷۵ درصد از آلاینده زایلن را حذف کند. برای بررسی خصوصیات فیزیکی و شیمیایی CdS و ZSM-5 از آنالیزهای پراش اشعه ایکس، میکروسکوپ الکترونی روشی و طیف سنجی مرئی-فرابنفش بازتاب انتشاری استفاده گردید. با توجه به نتایج آنالیز پراش اشعه ایکس، ساختار کادمیم سولفید سنتز شده به صورت هگزاگونال بوده و مطابق با تصاویر میکروسکوپ الکترونی روشنی، کادمیم سولفید بصورت کروی شکل سنتز شده است. طیف سنجی مرئی-فرابنفش بازتاب انتشاری نیز شکاف انرژی CdS/ZSM-5 و CdS را به ترتیب ۱/۸۵ و ۲/۲۴ الکترون ولت نشان داد.
بازنگری مقاله: ۱۴۰۳/۰۷/۱۵	
پذیرش مقاله: ۱۴۰۴/۰۳/۱۰	
کلمات کلیدی:	فوتوكاتالیست، زایلن، کادمیم سولفید، ZSM-5

DOI: <https://doi.org/10.22075/CHEM.2025.36641.2337>This is an open access article under the CC-BY-SA 4.0 license. (<https://creativecommons.org/licenses/by-sa/4.0/>)

۱- مقدمه

زایلن با فرمول شیمیایی C_8H_{10} مایعی بی رنگ، فرار، قابل اشتعال و خوشبو است که به دی متیل بنزن نیز معروف می باشد [۱]. زایلن در صنایع تولید لاستیک، روان کننده و جوهر، رنگ، چسب، آبکاری، مواد شوینده و پاک کننده و انواع سوختها به کار رفته و به عنوان مکمل همراه بنزن به بنزین اضافه می شود [۲]. منابع متحرک، انواع سوخت و جایگاههای عرضه سوخت، آتش سوزی در جنگلها و نشت نفت به اقیانوسها از عوامل مهم در انتشار زایلن می باشند [۳]. عوارض ناشی از تماس با زایلن شامل تأثیر روی سیستم عصبی، خستگی، تهوع، نفخ، سوزش چشم و تورم پوست، بروز مشکل در تنفس، عوارض قلبی، ناراحتی های معده، کلیه و کبد می باشد [۴]. یکی از مؤثرترین روش ها برای حذف بخارات زایلن، فرآیند اکسایش فوتوكاتالیستی است. طی این فرآیند، مواد آلاینده در اثر تابش نور و در حضور فوتوكاتالیست های نیمه رسانا و تولید شدن رادیکال های فعال به H_2O و CO_2 یا سایر مواد بی ضرر تجزیه می شوند [۵ و ۶].

کادمیم سولفید یک جامد زرد رنگ با فرمول CdS می باشد که به دلیل خواص و کاربردش بسیار مورد توجه قرار گرفته است. این ترکیب در دو کانی متفاوت یکی با نام هگزا گرینوکیت (همان کادمیم سولفید طبیعی) با نام لاتین Hexagonal Cubic hawleyite greenockite و دیگری هالیت مکعبی (کانی از دسته ای اسفلریت ها مانند ZnS و FeS) با نام لاتین

استخراج می‌شود. کادمیم سولفید یکی از مهمترین نیمه هادی‌ها است که در دمای اتاق شکاف انرژی آن در حدود ۲/۴ الکترون ولت است. این ترکیب در سلول‌های خورشیدی، لیزرها و ابزار نوری نیز استفاده می‌شود. در سال‌های اخیر کادمیم سولفید به عنوان یک فتوکاتالیست موثر برای حذف آلاینده‌های آلی بسیار مورد استفاده قرار گرفته است [۷].

زئولیت‌ها از دسته مواد میکروحفره بوده و آلمیناسیلیکات‌های بلوری و هیدراته فلزات قلیایی یا قلیایی خاکی بویژه سدیم، کلسیم، منیزیم، استرانسیم و باریم هستند که شبکه‌های سه بعدی متشكل از چهار وجهی‌های $[{\text{SiO}_4}]^4-$ و $[{\text{AlO}_4}]^4-$ دارند. در ساختار زئولیت‌ها چهاروجهی‌ها به گونه‌ای در کنار هم قرار می‌گیرند که یک ساختار شبکه‌ای باز با منافذ و سطوح بسیار زیاد پدید می‌آورند و منجر به کاربردهای وسیعی در صنعت به عنوان رزین‌های تعویض یون، غربال‌های مولکولی، جاذب و کاتالیزور می‌شوند. زئولیت‌ها به دلیل سطح ویژه بالا، قدرت جذب زیاد، داشتن کانال‌های یکنواخت و پایدار و پایداری حرارتی، مکانیکی و گرمابی، به طور گسترده در فرآیند‌های پتروشیمی مانند تبدیل هیدروکربن‌ها، ایزومریزاسیون و استری شدن به عنوان کاتالیزورهای ناهمگن مورد استفاده قرار می‌گیرند [۸-۱۳].

حسینعلی رنگکوی در سال ۲۰۱۸ در کار تحقیقاتی خود نانوذرات TiO_2 را روی زئولیت تثبیت کرده و فعالیت فتوکاتالیستی آن را جهت حذف زایلن از فاز گازی تحت تشعشع نور فرابنفش بررسی کردند. نتایج حاصل نشان داد که مقدار حذف زایلن در غلظت‌های ۱۵۰، ۱۰۰ و ۵۰ ppm توسط فتوکاتالیست TiO_2 تثبیت شده روی زئولیت به ترتیب برابر با ۳۵/۴۶، ۲۲/۷۰ و ۱۲/۳۷ درصد است [۱۴]. در سال ۲۰۲۲ انتاریخ اسرقی و همکاران فتوکاتالیست $\text{CdS/g-C}_3\text{N}_4$ را با روش هم رسوی سنتز کرده و آن را بر روی زئولیت بارگذاری کردن و برای حذف آنتی بیوتیک سفوپرازون مورد استفاده قرار دادند. خواص فیزیکی و شیمیایی کامپوزیت حاصل با استفاده از آنالیزهای PL، TEM، DRS، FESEM، EDX و BET بررسی شد. مطابق با نتایج، پارامترهای pH محلول، زمان تابش، مقدار فتوکاتالیست و غلظت اولیه‌ی سفوپرازون بر روی راندمان تخریب تاثیر می‌گذارد. سفوپرازون با غلظت L/17mg در حضور pH=۹ فتوکاتالیست در ۸۰ دقیقه به مقدار ۹۳٪ تجزیه شد [۱۵]. خانم شیما و همکارانش در سال ۲۰۲۵ در یک کار پژوهشی فتوکاتالیست $\text{MnFe}_2\text{O}_4/\text{FeVO}_4/\text{modified zeolite}$ را با استفاده از روش هیدروترمال و امواج اولتراسونیک در نسبت‌های مختلف سنتز کرده و فعالیت فتوکاتالیستی آن‌ها را در حذف متیلن بلو و گوگرددزدایی بنزوکیوفن بررسی کردند. نتایج حاصل نشان داد که زئولیت اصلاح شده در حذف آلاینده‌ها نقش مهمی دارد. به طوری که میزان حذف متیلن بلو و گوگرد با فتوکاتالیست $\text{MnFe}_2\text{O}_4/\text{FeVO}_4/\text{modified zeolite}$ در مقایسه با $\text{MnFe}_2\text{O}_4/\text{FeVO}_4$ ، به ترتیب از ۶۸ به ۹۳ درصد و از ۱۰۰ به ۹۳ درصد افزایش یافت [۱۶].

بر اساس مطالعات انجام شده، کادمیم سولفید بارگذاری شده بر روی زئولیت ZSM-5 برای حذف فتوکاتالیستی بخارات زایلن از هوای آلوده تاکنون گزارش نشده است. در این پژوهش، ابتدا کادمیم سولفید با روش هیدروترمال سنتز شده و فعالیت فتوکاتالیستی آن برای حذف بخارات زایلن در دو حالت پودری و تثبیت شده بر روی پسترهای شیشه‌ای بررسی می‌شود. در

مرحله بعد کادمیم سولفید بر روی زئولیت ZSM-5 بارگذاری شده و عملکرد فتوکاتالیستی CdS/ZSM-5 حاصل نیز برای حذف بخارات زایلن مورد بررسی قرار می‌گیرد. ویژگی‌های فیزیکی و شیمیایی فتوکاتالیست‌ها با استفاده از آنالیزهای پراش پرتو ایکس (XRD)، میکروسکوب الکترونی روبشی (SEM) و طیفسنجی فرابنفش-مرئی بازتابش انتشاری (UV-Vis DRS) بررسی می‌شود.

۲- بخش تجربی

سنترز کادمیم سولفید

برای سنترز کادمیم سولفید در ابتدا مقدار معینی کادمیم استات را در آب مقطر حل کرده و سپس مقدار معینی تیواستامید به آن اضافه شده و به مدت یک ساعت در دمای اتاق همزده شد. در مرحله بعد سوسپانسیون حاصل را به اتوکلاو منتقل کرده و اتوکلاو در دمای ۱۸۰ درجه سانتیگراد به مدت ۲۴ ساعت در آون قرار داده شد. سپس رسوب حاصل توسط سانتریفیوز جدا شده و کادمیم سولفید حاصل در دمای ۸۰ درجه سانتیگراد به مدت ۱۰ ساعت در آون خشک شد [۱۷].

بارگذاری کادمیم سولفید بر روی زئولیت 5-ZSM

برای بارگذاری کادمیم سولفید بر روی زئولیت، مقدار معینی از زئولیت در حین سنترز کادمیم سولفید به محلول اضافه شد. به این صورت که بعد از اضافه کردن کادمیم استات و تیواستامید به آب مقطر، زئولیت نیز اضافه شده و سوسپانسیون حاصل به مدت یک ساعت در دمای اتاق همزده شد. مابقی مراحل مانند سنترز کادمیم سولفید می‌باشد.

ثبت فتوکاتالیست بر روی بستر شیشه‌ای

برای انجام این کار لام‌های شیشه‌ای پس از خراشیده شدن، در داخل اسیدفلوریدریک ۵ درصد حجمی به مدت ۲۴ ساعت قرار داده شدند. در اثر این عمل شیارهای موجود روی این لام‌ها عمیق‌تر شده که ثبیت فتوکاتالیست روی آن‌ها را فراهم می‌آورد. پس از خارج کردن لام‌های شیشه‌ای از اسید و شستشو با آب مقطر، سوسپانسیون آماده شده از فتوکاتالیست روی لام‌ها ریخته شده و جهت خشک شدن در آون در دمای ۸۰ درجه سانتیگراد به مدت ۲۴ ساعت قرار گرفتند.

تست فعالیت فتوکاتالیستی

فوتوکاتالیست‌ها در دو حالت پودری و ثبیت شده روی لام‌های شیشه‌ای تست شدند. برای تست‌های فتوکاتالیستی، ابتدا مقدار معینی از فتوکاتالیست را درون فوتوراکتور گازی قرار داده و بعد از بستن در راکتور، زایلن با غلظت مشخص به وسیله سرنگ میکرولیتری داخل آن تزریق شد. سپس فن داخل راکتور روشن شد تا زایلن به بخار تبدیل شده و به طور یکنواخت داخل محفوظه راکتور پخش شود. راکتور یک ساعت در تاریکی قرار گرفت تا تعادل جذب-واجدب بین فتوکاتالیست و زایلن برقرار شود. سپس منبع نور داخل راکتور روشن شد تا واکنش‌های فتوکاتالیستی آغاز شوند. در ادامه در زمان‌های مختلف از هوای

داخل راکتور، نمونه برداری توسط سرنگ گازبندی شده انجام گرفته و غلظت زایلن با استفاده از کروماتوگرافی گازی مجهز به دتکتور FID و ستون OV-1 (طول ۱۰ متر، قطر ۰/۲۵ میلی‌متر، ضخامت فاز ساکن ۰/۲۵ میکرومتر) آنالیز شد. در مرحله آخر برای محاسبه درصد حذف زایلن از رابطه زیر استفاده شد:

$$\frac{C_0 - C_t}{C_0} \times 100 = \text{درصد حذف زایلن}$$

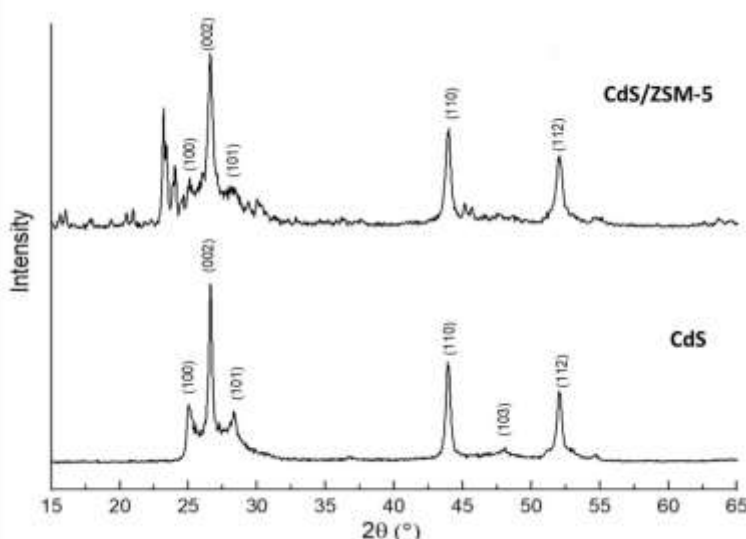
در این رابطه C_0 غلظت در لحظه $t=0$ و C_t غلظت در لحظه نمونه برداری می‌باشد.

در هر آنالیز دو بار نمونه برداری انجام شده و میانگین نتایج گزارش شده است.

۳-بحث و نتیجه گیری

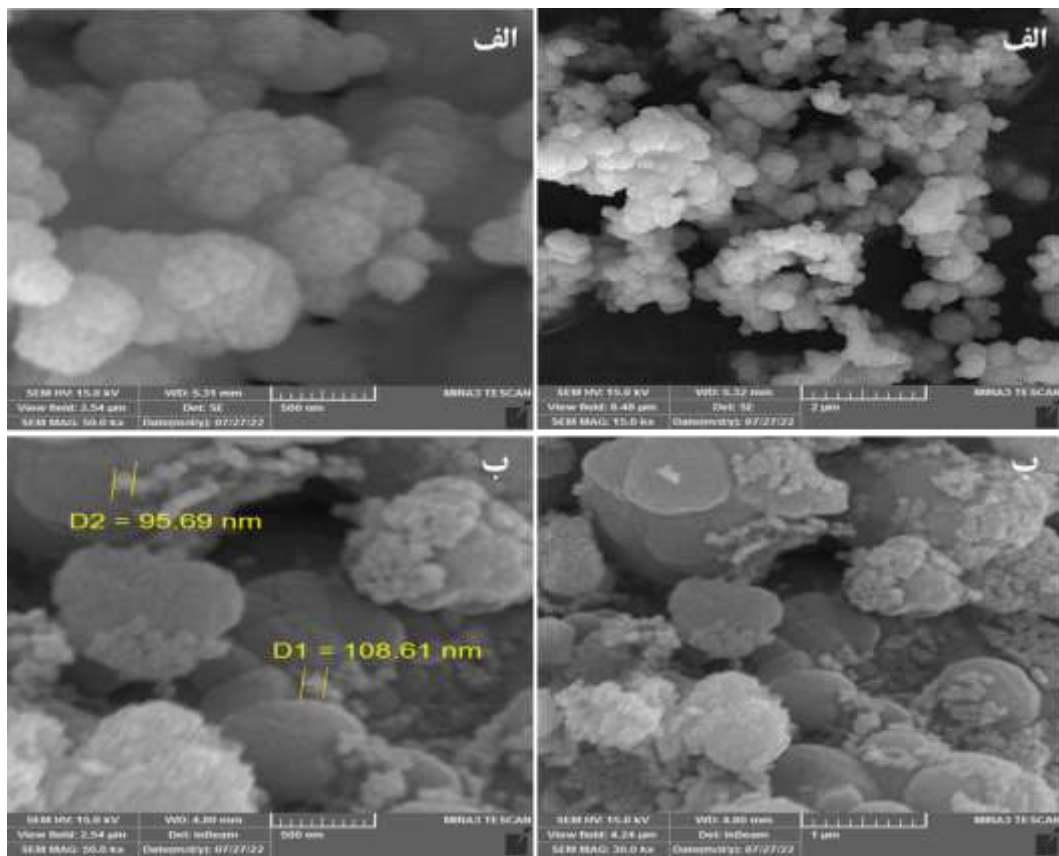
CdS/ZSM-5 و CdS ویژگی‌های

الگوی XRD کادمیم‌سولفید و کادمیم‌سولفید بارگذاری شده بر روی زئولیت در شکل ۱ نشان داده می‌شود. با مقایسه پیک‌های پراش کادمیم سولفید سنتز شده با پیک‌های پراش کادمیم سولفید استاندارد (JCPDS NO 41-1049)، مشخص می‌شود که کادمیم سولفید درست سنتز شده است. پیک‌های موجود در نواحی $51/824^\circ$ و $47/839^\circ$ و $43/681^\circ$ و $28/182^\circ$ و $26/507^\circ$ و $24/807^\circ$ مربوط به کادمیم سولفید هگزاگونالی می‌باشد که به ترتیب متناظر با بازتاب از صفحات کربیستالی (۱۰۰)، (۰۰۲)، (۱۰۱)، (۱۰۳) و (۱۱۲) است [۱۸]. در الگوی XRD مربوط به CdS/ZSM-5، هم پیک‌های مربوط به کادمیم سولفید و هم پیک‌های مربوط به زئولیت ZSM-5 ظاهر شده است و این نشان دهنده بارگذاری موفقیت آمیز کادمیم سولفید بر روی زئولیت می‌باشد و همچنین ساختار زئولیت در اثر بارگذاری کادمیم سولفید تغییری نکرده است.



شکل ۱. الگوی پراش اشعه ایکس CdS/ZSM-5 و CdS

تصاویر میکروسکوپ الکترونی روبشی CdS/ZSM-5 و CdS در شکل ۲ نشان داده شده است. مطابق با تصاویر SEM، کادمیم سولفید سنتز شده کروی شکل می باشد. شکل ۲(ب) نیز نشان می دهد که ذرات کادمیم سولفید به طور یکنواخت روی سطح زئولیت توزیع شده اند و ساختار سطحی ناهمواری حاصل شده است که به وضوح ظرفیت جذب آلاینده و سایتها فعال برای انجام واکنش فتوکاتالیستی را افزایش می دهد و در نتیجه می تواند باعث افزایش فعالیت فتوکاتالیستی شود [۱۹].

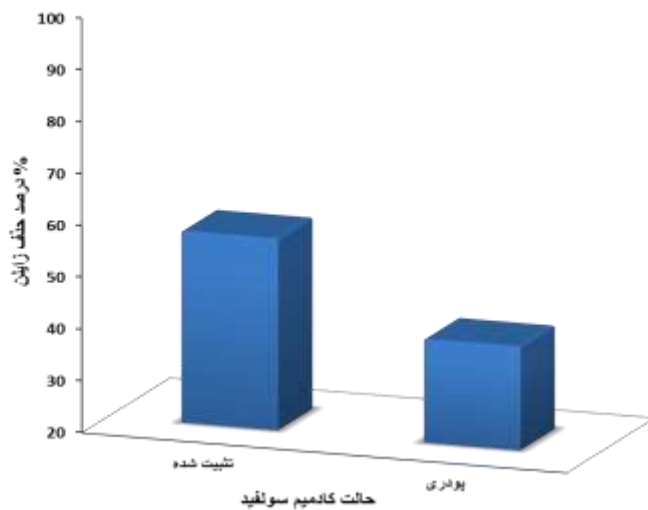


شکل ۲. تصاویر SEM (الف) و (ب) CdS/ZSM-5 و CdS

مقدار شکاف انرژی CdS و کامپوزیت CdS/ZSM-5 با استفاده از طیفسنجی فرابنفش-مرئی بازتاب انتشاری و معادله $(\alpha h\nu)^2 = A(h\nu - E_g)$ تعیین شد که به ترتیب $1/85$ و $2/24$ الکترون ولت به دست آمد.

CdS/ZSM-5 و CdS فعالیت فتوکاتالیستی

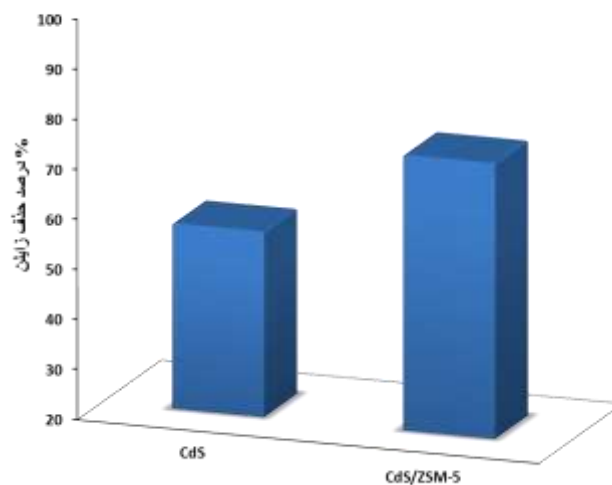
فعالیت فتوکاتالیستی کادمیم سولفید تحت تشعشع نور فرابنفش در دو حالت پودری و تثبیت شده بر روی بسترها شیشه ای در شکل ۳ نشان داده می شود.



شکل ۳- درصد حذف بخارات زایلن توسط کادمیم سولفید تحت تشعشع نور فرابنفش (غلظت زایلن: ۳۰۰ ppm، مقدار فتوکاتالیست: ۱/۰ g، زمان تست: ۷ ساعت)

با توجه به نتایج حاصل از شکل ۳، استفاده از کادمیم سولفید در حالت ثبیت شده روی لام های شیشه ای به علت بیشتر شدن سطح ویژه فتوکاتالیست، درصد حذف را افزایش می دهد. در واقع با بیشتر شدن سطح ویژه فتوکاتالیست، احتمال تماس آلینده با فتوکاتالیست بیشتر شده و در نتیجه درصد حذف افزایش می یابد [۲۰].

شکل ۴ درصد حذف بخارات زایلن توسط CdS/ZSM-5 را در مقایسه با CdS نشان می دهد.



شکل ۴. درصد حذف بخارات زایلن توسط CdS/ZSM-5 و CdS ثبیت شده روی لام های شیشه ای تحت تشعشع نور فرابنفش (غلظت زایلن: ۳۰۰ ppm، مقدار فتوکاتالیست: ۱/۰ g، زمان تست: ۷ ساعت)

مشاهده می شود که کامپوزیت CdS/ZSM-5 نسبت به CdS فعالیت فتوکاتالیستی بیشتری را از خود نشان داده است. علت

افزایش عملکرد فتوکاتالیستی کامپوزیت CdS/ZSM-5 را می توان به موارد زیر نسبت داد:

۱- زئولیت ZSM-5 دارای سطح ویژه‌ی بالایی بوده و درنتیجه ذرات کادمیم سولفید به خوبی بر روی سطح زئولیت پخش شده و مکان های فعال سطحی بیشتری برای انجام واکنش های فتوکاتالیستی تشکیل می شود.

۲- زئولیت ZSM-5 به عنوان کمک کاتالیزور عمل کرده و به خاطر داشتن بار سطحی منفی، فتووالکترون های تشکیل شده را به دام انداخته و باعث کاهش ترکیب مجدد فتووالکترون-حفره در سطح کاتالیزور می شود.

۳- نتیجه گیری

در این مقاله فتوکاتالیست های CdS/ZSM-5 و CdS سنتز شده و برای حذف بخارات زایلن از هوای آلوده تحت تشعشع نور فرابنفش مورد ارزیابی قرار گرفت. مطابق با نتایج XRD و SEM، کادمیم سولفید بطور موفقیت آمیزی بر روی زئولیت ZSM-5 بارگذاری شده است. فتوکاتالیست CdS/ZSM-5 در حالت تشییت شده بر روی بسترهای شیشه ای توانست ۷۵ درصد از بخارات زایلن را حذف کند. در واقع زئولیت ZSM-5 با به دام انداختن فتووالکترون های تشکیل شده، باعث کاهش ترکیب مجدد فتووالکترون-حفره شده و در نتیجه عملکرد فتوکاتالیستی افزایش می یابد.

۴- تقدیر و تشکر

نویسندها از حمایت مالی دانشگاه زنجان در اجرای این پژوهش سپاسگزارند.

۵- فهرست منابع و مأخذ

- [1] Gilch, H. G., & Wheelwright, W. L. (1966). Polymerization of α -halogenated p-xlenes with base. *J. Polym. Sci., Part A: Polym. Chem.*, 4(6), 1337-1349.
- [2] Savolainen, K. (1980). Combined effects of xylene and alcohol on the central nervous system. *Acta Pharmacol. Toxicol.*, 46(5), 366-372.
- [3] Bakand, S., Winder, C., Khalil, C., & Hayes, A. (2006). A novel in vitro exposure technique for toxicity testing of selected volatile organic compounds. *J. Environ. Monit.*, 8(1), 100-105.
- [4] Ma, T., Xu, J., Chen, K., Du, J., Li, W., & Huang, X. (1998). Red-green-blue light emission from hydrogenated amorphous silicon carbide films prepared by using organic compound xylene as carbon source. *Appl. Phys. Lett.*, 72(1), 13-15.
- [5] Daneshvar, N., Salari, D., & Khataee, A. R. (2003). Photocatalytic degradation of azo dye acid red 14 in water: investigation of the effect of operational parameters. *J. Photochem. Photobiol. A*, 157(1), 111-116.
- [6] Khataee, A. R., Karimi, A., Soltani, R. D. C., Safarpour, M., Hanifehpour, Y., & Joo, S. W. (2014). Europium-doped ZnO as a visible light responsive nanocatalyst: Sonochemical synthesis,

- characterization and response surface modeling of photocatalytic process. *Appl. Catal. A- GEN*, 488, 160-170.
- [7] Peng, T., Li, K., Zeng, P., Zhang, Q., & Zhang, X. (2012). Enhanced photocatalytic hydrogen production over graphene oxide–cadmium sulfide nanocomposite under visible light irradiation. *J. Phys. Chem. C*, 116(43), 22720-22726.
- [8] Kuznicki, S. M., Lin, C. C. H., & Dambrowitz, K. A. (2012). Evolving applications of zeolite molecular sieves.
- [9] Csicsery, S. M. (1986). Catalysis by shape selective zeolites-science and technology. *Pure Appl. Chem*, 58(6), 841-856.
- [10] Weitkamp, J. (2000). Zeolites and catalysis. *Solid state ion*, 131(1-2), 175-188.
- [11] VAUGHAN, D. W. (1988). The synthesis and manufacture of zeolites. *Chem Eng Prog*, 84(2), 25-31.
- [12] Armstrong, G. (2015). An introduction to polymer nanocomposites. *Eur J Phys*, 36(6), 063001.
- [13] Baerlocher, C., McCusker, L. B., & Olson, D. H. (2007). *Atlas of zeolite framework types*. Elsevier.
- [14] Rangkooy, H. A., Jahani, F., & Siahi Ahangar, A. (2019). Effect of the Type of Ultraviolet on the Photocatalytic Removal of Xylene as a Pollutant in the Air Using TiO₂ Nanoparticles Fixed on the activated carbon. *J. Occup. Hyg. Eng*, 5(4), 26-32.
- [15] AttariKhasraghi, N., Zare, K., Mehrizad, A., Modirshahla, N., & Behnajady, M. A. (2021). Zeolite 4A supported CdS/g-C₃N₄ type-II heterojunction: a novel visible-light-active ternary nanocomposite for potential photocatalytic degradation of cefoperazone. *J. Mol. Liq*, 342, 117479.
- [16] Khabbaz, S. H., Bagheri, A., & Mousavi-Kamazani, M. (2024). Synthesis, characterization, and application of MnFe₂O₄/FeVO₄/modified zeolite nanocomposite as an effective photocatalyst for methylene blue degradation and benzothiophene desulfurization. *Heliyon*.
- [17] Li, Y. D., Liao, H. W., Ding, Y., Qian, Y. T., Yang, L., & Zhou, G. E. (1998). Nonaqueous synthesis of CdS nanorod semiconductor. *Chem. mater*, 10(9), 2301-2303.
- [18] Yang, F., Tian, X., Zhang, K., Zhang, X., & Liu, L. (2018). The morphology–property effect and synergistic catalytic effect of CdS as electrocatalysts for dye-sensitized solar cells. *J Solid State Sci Technol*, 7(6), P311.
- [19] Yin, H., Wang, X., Wang, L., Nie, Q., Zhang, Y., Yuan, Q., & Wu, W. (2016). Ag/AgCl modified self-doped TiO₂ hollow sphere with enhanced visible light photocatalytic activity. *J. Alloys Compd.*, 657, 44-52.
- [20] Yao, S., Li, J., & Shi, Z. (2010). Immobilization of TiO₂ nanoparticles on activated carbon fiber and its photodegradation performance for organic pollutants. *Particuology*, 8(3), 272-278.